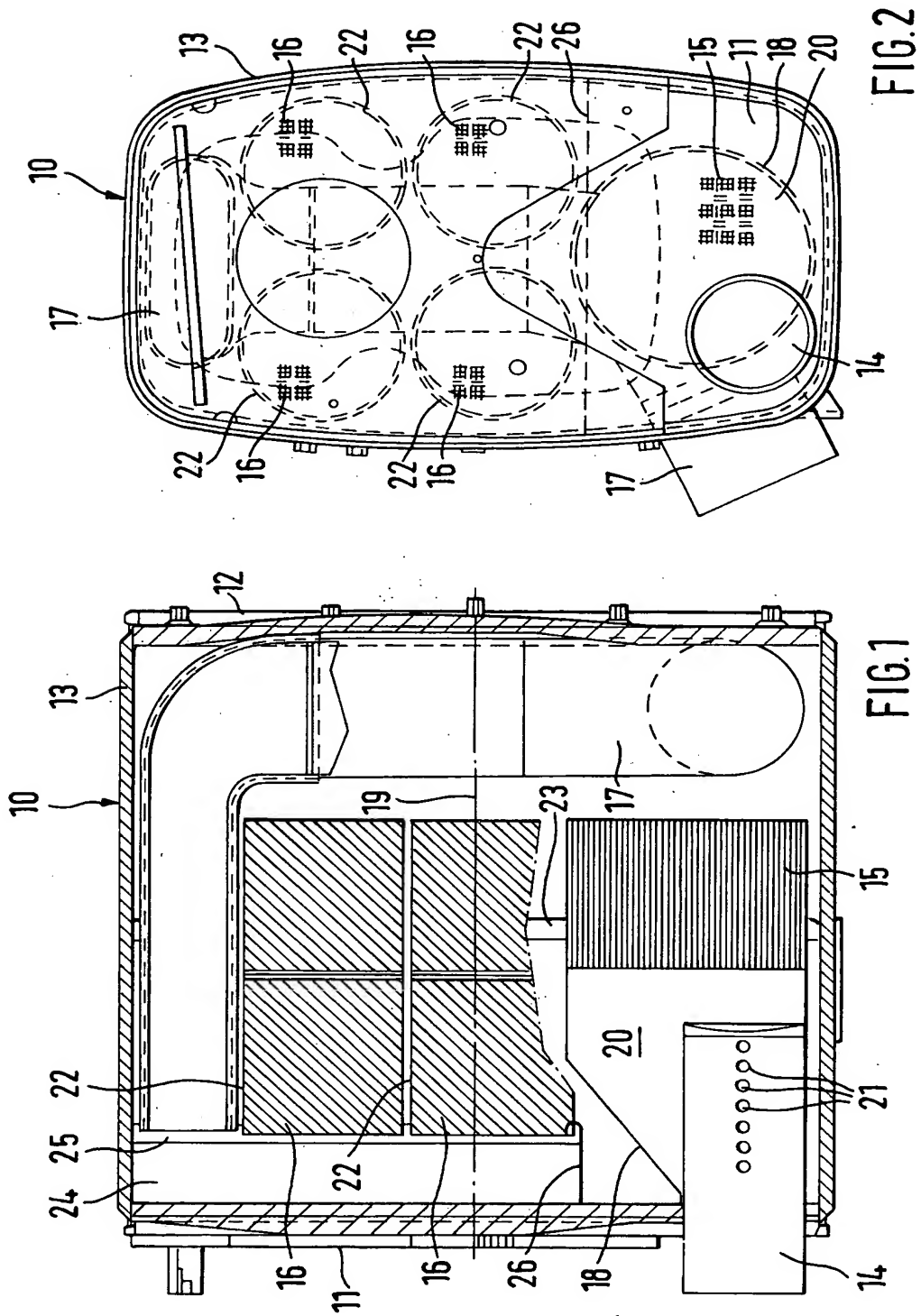


1/6

Eberhard Jacob et al



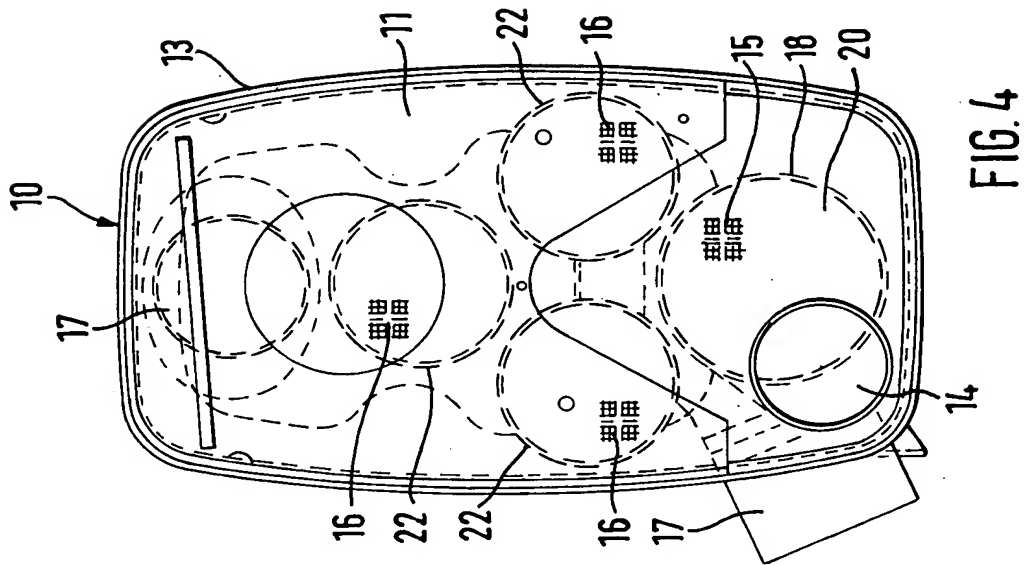


FIG. 4

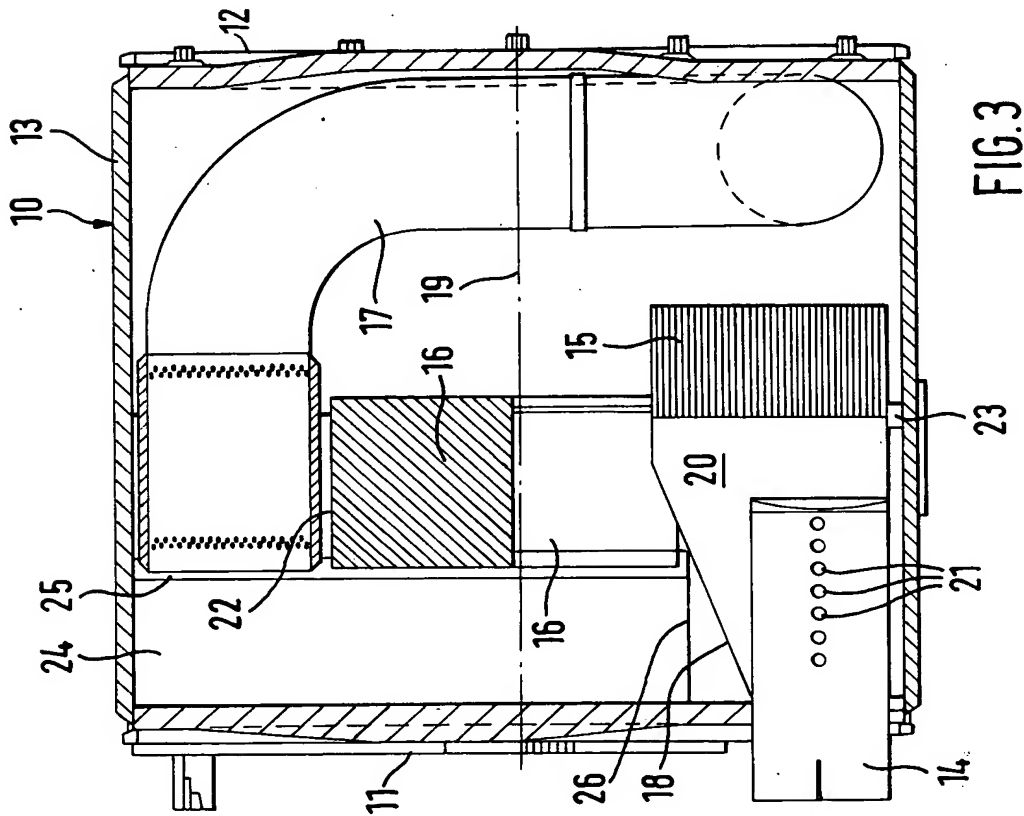


FIG. 3

3/6

Eberhard Jacob et al

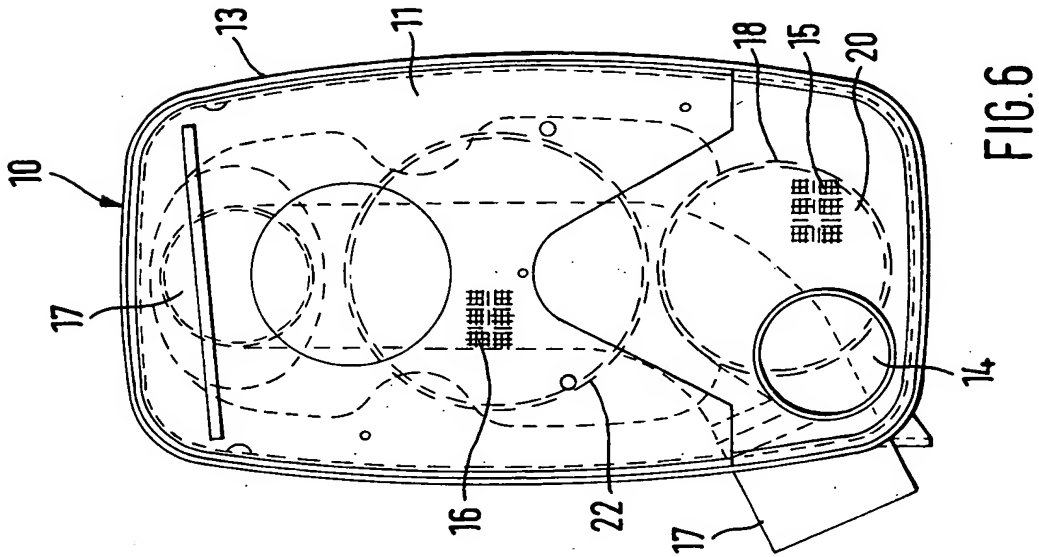


FIG. 6

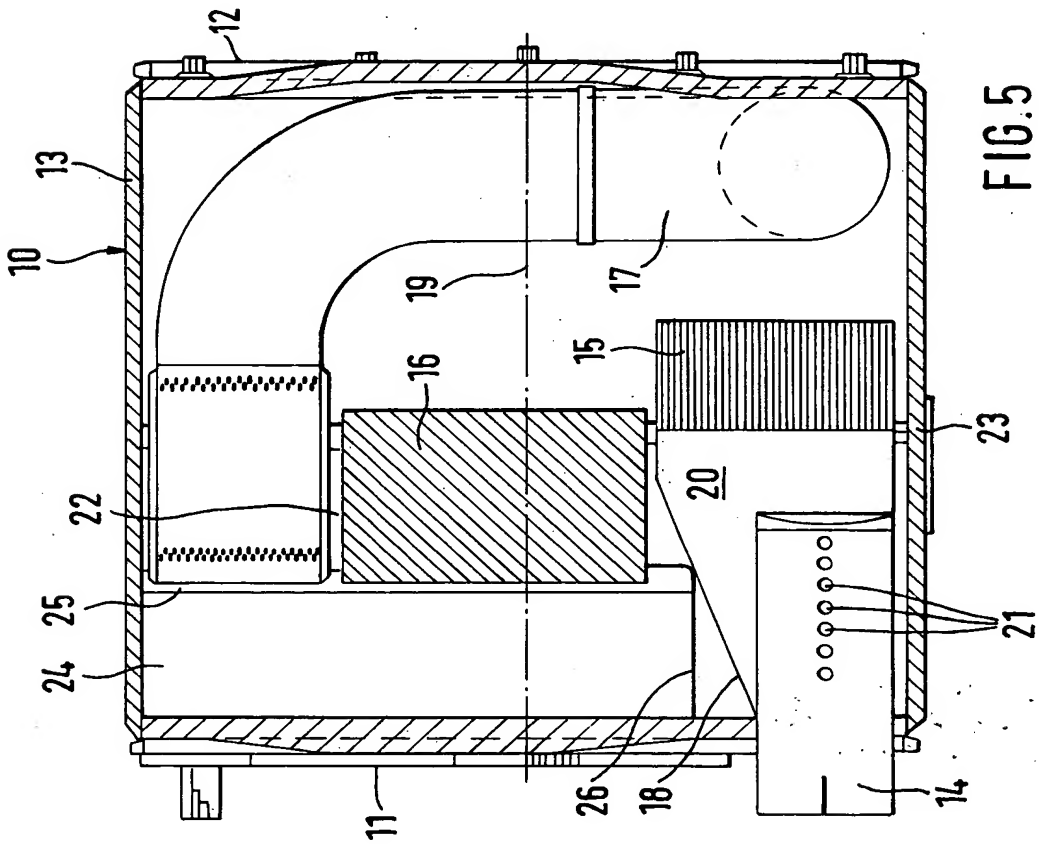


FIG. 5

4/6

Eberhard Jacob et al

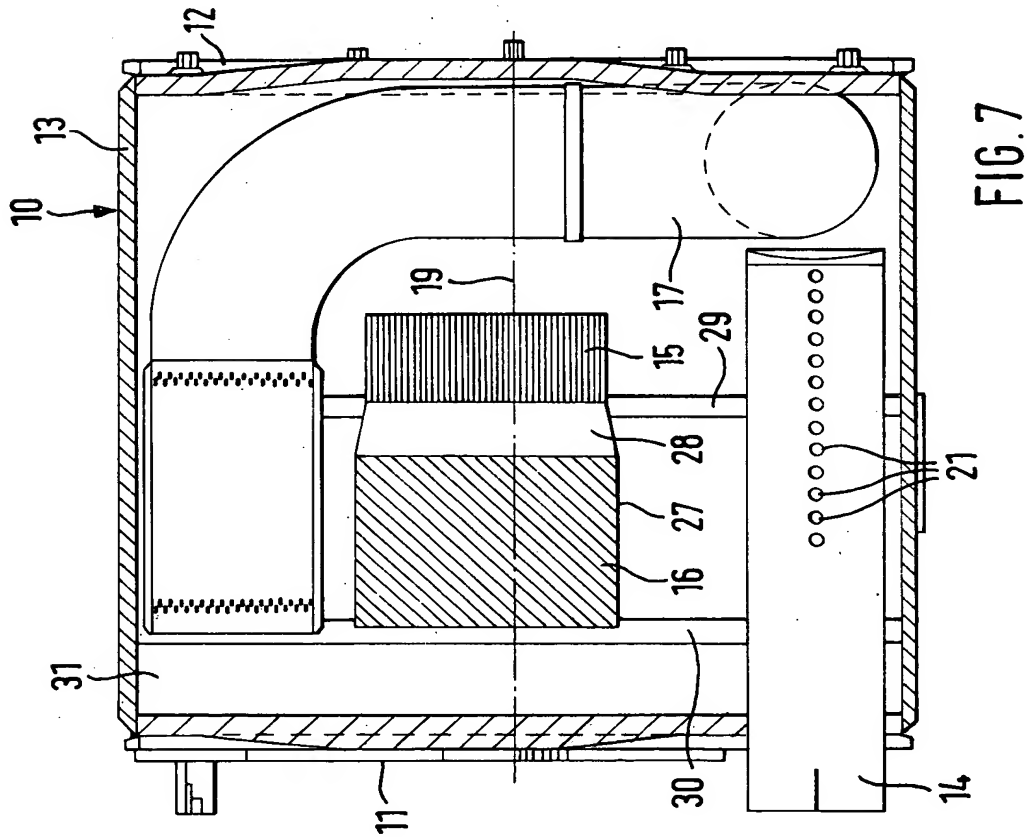
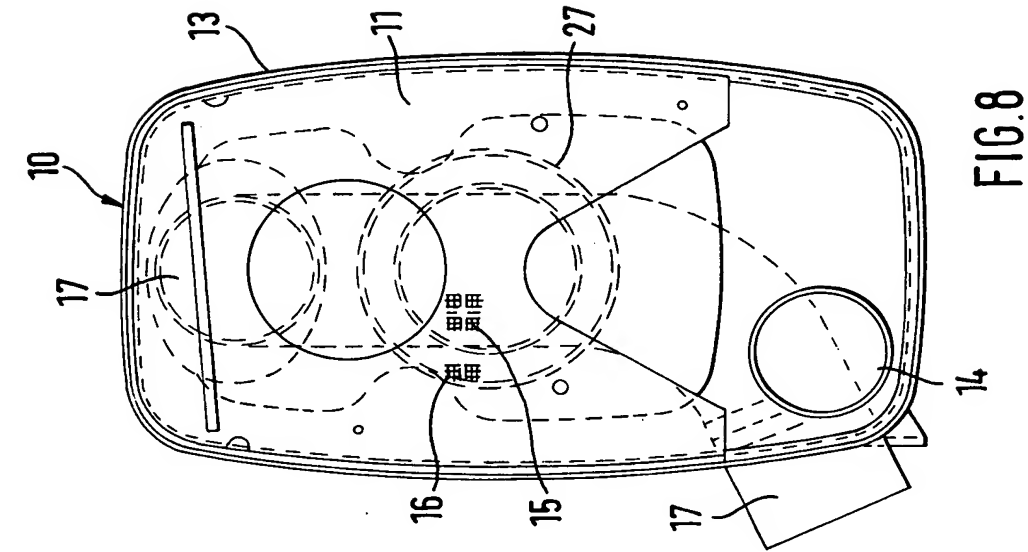


FIG. 9

Vari- ant	Fig.	Dimension (mm) Ø x l	Cellular Structure (cps)	P-Cat * (15)					PM-Separator (16)					ESC ** %	ETC *** %
				Vol- ume (l)	Channel Velocity KG (ml/sec)	Aspect Ratio AR l/Ø _{eff}	Platinum Coating (g/l) (g)	No.	Dimension (mm) Ø x l	Cellular Struc- ture (cps)	Vol- ume (l)	Channel Velocity KG (ml/sec)	Aspect Ratio AR l/Ø _{eff}		
1	1,2	220 x 101,5	200	4,0	9,3	0,46	1,41 5,6	4	150 x 150	200	10,6	5,9	0,50	55	50
2	1,2	220 x 101,5	200	4,0	9,3	0,46	1,41 5,6	4	150 x 225	200	15,9	5,9	0,75	70	71
3	1,2	220 x 101,5	200	4,0	9,3	0,46	1,41 5,6	4	150 x 300	200	21,2	5,9	1,00	82	79
4	3,4	220 x 101,5	200	4,0	9,3	0,46	1,41 5,6	3	150 x 150	200	8,0	7,9	0,58	55	53
5	3,4	200 x 101,5	200	3,1	9,3	0,51	1,41 4,4	3	150 x 150	200	8,0	7,9	0,58	56	52
6	5,6	200 x 101,5	200	3,1	9,3	0,51	1,41 4,4	1	254 x 150	200	7,5	8,2	0,59	55	52
7	7,8	200 x 101,5	200	3,1	9,3	0,51	1,41 4,4	1	220 x 150	200	5,7	11	0,68	54	52
8	7,8	200 x 101,5	160	3,1	9,3	0,51	1,25 3,9	1	220 x 150	200	5,7	11	0,68	54	52
9	7,8	200 x 101,5	160	3,1	9,3	0,51	1,25 3,9	1	220 x 150	160	5,7	11	0,68	53	51
10	7,8	180 x 101,5	160	2,6	14	0,56	1,04 2,7	1	220 x 150	160	5,7	11	0,68	52	51

* = platinum coated

** = european steady state cycle (ESC)

*** = european transient cycle (ETC)

Ø_{eff} = diameter effective at inlet of the round entry surface of a P-cat 15 and a PM separator 16 (if only one is used) or for more PM separators 16 their overall entry surface assuming a circular surface and the resulting diameter.

All data pertaining to the channel velocity KG and conversion relate to a maximum exhaust gas volume flow of 1200 Nm³/h at a raw particle emission of the exhaust gas delivered by the test diesel engine of approximately 40mg/KWh with the ESC test and approximately 50mg/KWh with the ETC test.

Best mode = Variant 3

6/6

Eberhard Jacob et al

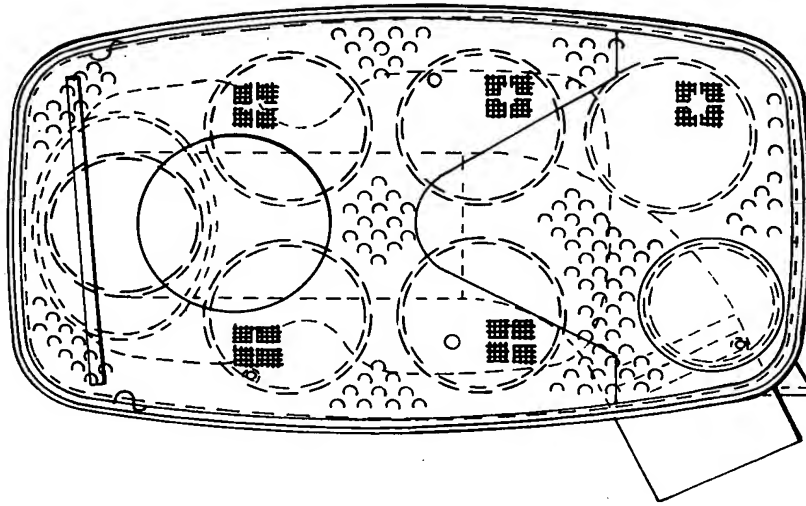


FIG. 11

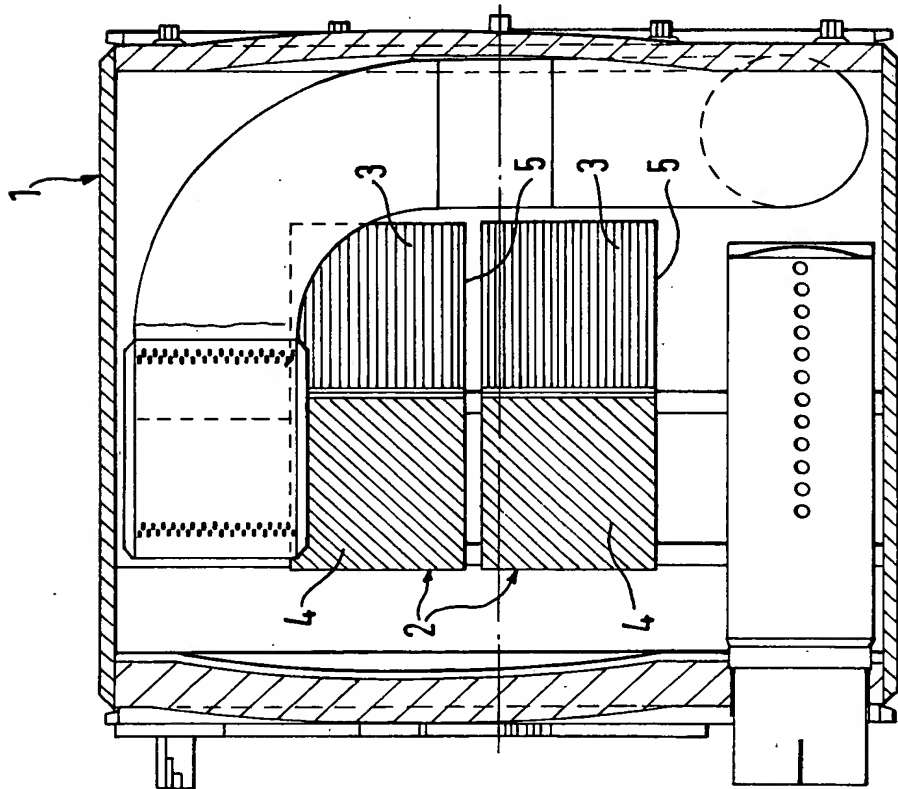


FIG. 10 prior art